

5.8. いくつかの数理モデル

いくつかの具体的な現象を記述する数理モデルとその解析を紹介しよう。

与えられた現象を数理モデルを立て、その解析を通して、現象の数学的理解を深めたいという目標とする。

- 力学 (非線形振動)
- 化学反応
- 感染症の伝播
- 生物の個体数増殖

など、1134のあたり、ここに、数理生態学
における 生物の個体数増殖モデル
(主に、ロトカ・ボルテラモデルと捕食者の)
を紹介しよう。

① 一般的準備.

解軌道を一般に理解するのに役立つ。
 の準備

又ルワイン の概念を学んでおく。

2つの未知関数 $u(t), v(t)$ に対する
 連立微分方程式:

$$\begin{cases} \frac{du}{dt}(t) = f(u(t), v(t)) \\ \frac{dv}{dt}(t) = g(u(t), v(t)) \end{cases}$$

の解軌道 $(u(t), v(t))$ は、相平面上の
 (uv 平面)
 軌道で表現できる。

uv 平面におく。 $f(u, v) = 0$ は一般に
 曲線を表し、これを 第1の又ルワイン とおく

同様に $g(u, v) = 0$ で表される曲線を

第2の又ルワイン とおく

$$u(0) = u_0 \geq 0, \quad v(0) = v_0 \geq 0$$

$$\text{ms. } u(t) \geq 0, \quad v(t) \geq 0 \quad (t \geq 0)$$

§31 & 12

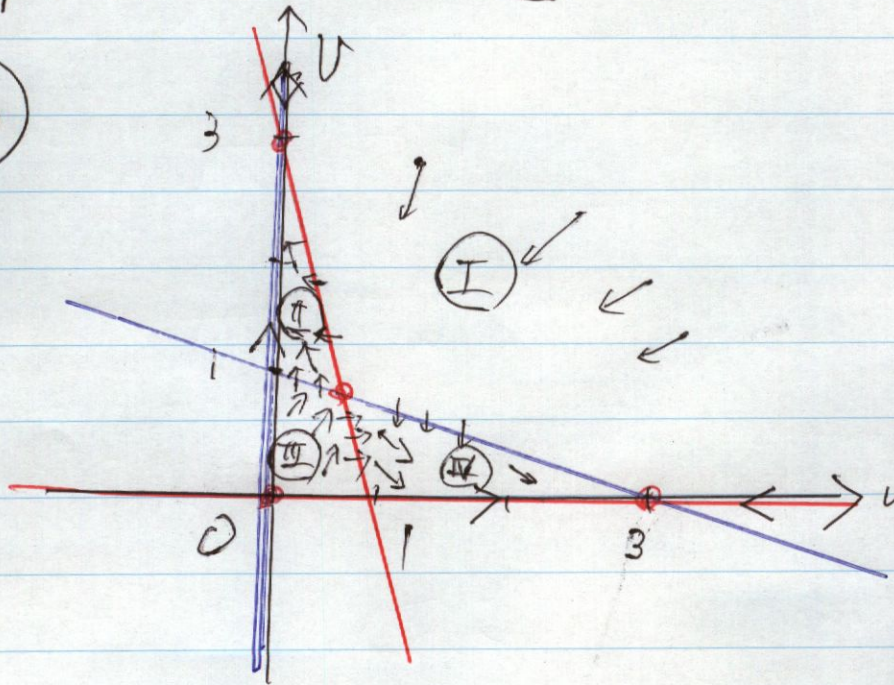
$$(1) \begin{cases} \frac{du}{dt} = u(3-u-9v) (= f(u,v)) \\ \frac{dv}{dt} = v(3-3u-v) (= g(u,v)) \end{cases}$$

ε 表す, 第1のヌルラインは (青) で表し

第2のヌルラインは (赤) で表すと, 以下a通り

$u \geq 0, v \geq 0$

解領域のみ
着目す.



f, g の正負
に従って
解軌道の向き
がわかる!

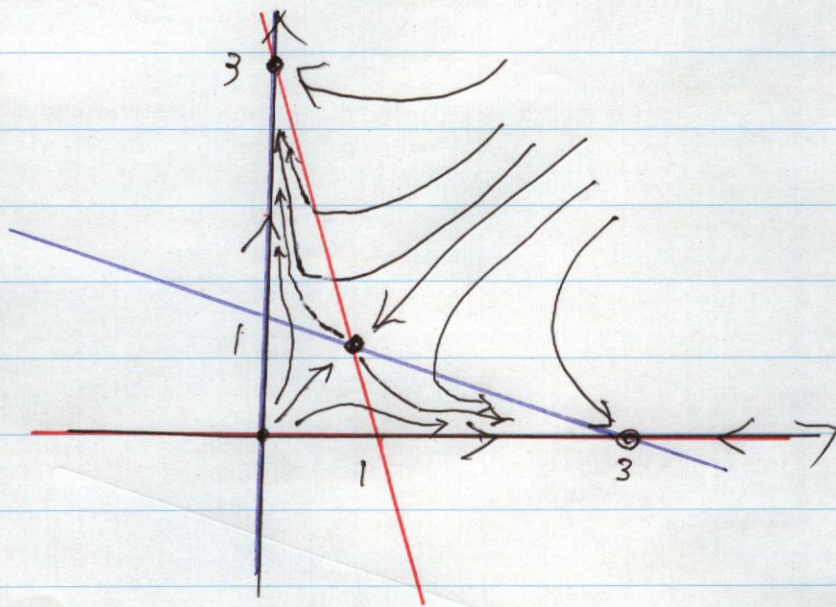
- ① $f < 0, g < 0$.
- ② $f < 0, g > 0$.
- ③ $f > 0, g < 0$.
- ④ $f > 0, g > 0$.

さらに, 第1のヌルラインと第2のヌルラインの

交点は 平衡点 となる.

上の例では, 4つの平衡点 $(0,0), (3,0), (0,3), (\frac{3}{4}, \frac{3}{4})$ がある.

各ヌルライン上での解軌道の向き,
 各領域(Ⅰ)~(Ⅳ)での解軌道の向きから
 および, (Ⅰ)の解軌道の様子が以下の
 ようなことがわかる。(推察される。)



一般に, 上記のヌルラインを用いて解軌道の
 向きを大ざっぱにつかんだ後に, 各平衡点
のまわりでの線形化解析, 及び ハopf分岐

などを構成, などを

が出来る

通して,

これはポアンカレ-ベクトルの定理を
 利用して 周期軌道の存在を証明する

解軌道の詳しい挙動を説明することができる。

(11) ロトカ・ボルテラモデル

食う、食われるの関係にある、2種類の生物の時刻 t での個体数(密度)を

それぞれ $u(t), v(t)$ とし、次の数理モデルを考える。

$$\begin{cases} \frac{du(t)}{dt} = u(t) \cdot (a - b v(t)) & \leftarrow \text{食われる効果} \\ \frac{dv(t)}{dt} = v(t) (-c + d u(t)) & \leftarrow \text{食う効果} \end{cases}$$

$a, b, c, d > 0$ の定数とする。

$u(t)$... 食われる生物の個体数
(例として、小魚)

$v(t)$... 食う生物の個体数
(例として、サメ)

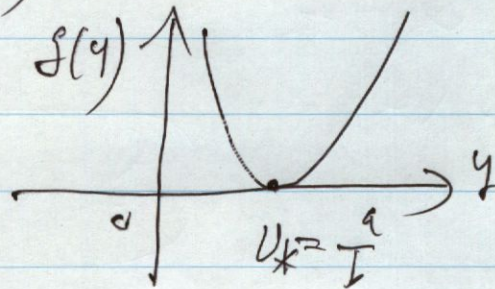
初期条件 $u(0) = u_0 \geq 0, v(0) = v_0 \geq 0$.

として $t \rightarrow +\infty$ での挙動を考察する。

もし $u_0 = 0; v_0 > 0$ ならば、 $u(t) \equiv 0$ として $\frac{dv}{dt} = -cv(t)$ になり、 $v(t) = v_0 e^{-ct} \rightarrow 0 (t \rightarrow +\infty)$.

$$g(y) = b(y - v_*) - a \log\left(\frac{y}{v_*}\right) \text{ のグラフは}$$

同様.



同様

$$\frac{d}{dt} (V(u(t), v(t)))$$

$$= \left(d - \frac{c}{u}\right) u' + \left(b - \frac{a}{v}\right) v'$$

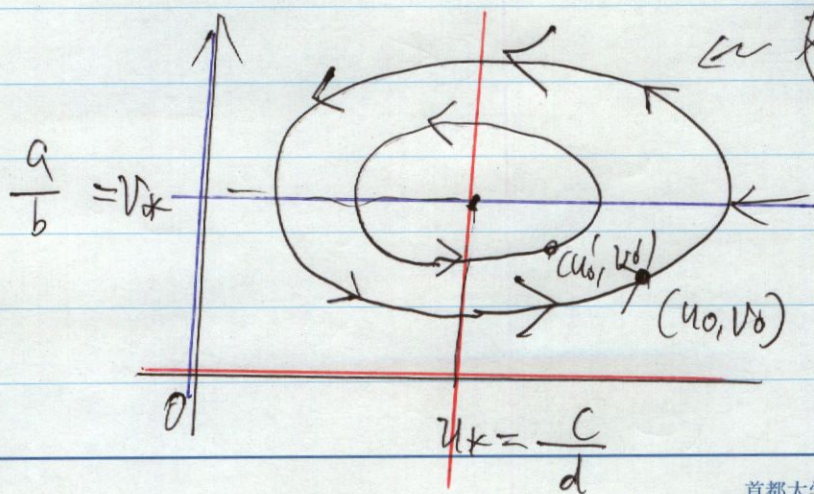
$$= \left(d - \frac{c}{u}\right) (au - bu - cv) + \left(b - \frac{a}{v}\right) (-cv + du)$$

$$= (du - c)(a - bv) + (bv - a)(-c + du)$$

$$= 0 \quad \text{である.}$$

$$\text{したがって } V(u(t), v(t)) = c \left(-\frac{c}{a}\right).$$

よって, $u(t), v(t)$ は 周期軌道である



この軌道は周期軌道である
解軌道が同方向に動く

$$V(u, v) = C$$

$$C = V(u_0, v_0)$$

初期値 (u_0, v_0) が異なれば、異なる周期軌道
 となり、無数の周期軌道で相平面がうめくたれる
 ことになる。

今、この周期軌道の周期を $T > 0$ とする。

(i.e. $u(t+T) = u(t)$, $v(t+T) = v(t)$.)
 (44)

$$\frac{d}{dt} (\log u(t)) = \frac{u'(t)}{u(t)} = a - b v(t)$$

ε 0からTまで積分 (2)

$$\log u(T) - \log u(0) = aT - b \int_0^T v(t) dt \quad (1)$$

$$0 = \frac{1}{T} \int_0^T v(t) dt = \frac{a}{b} = u^* \quad \varepsilon \text{ である.}$$

(解の平均)

同様に $\frac{d}{dt} (\log v) = \frac{v'(t)}{v(t)} = -c + d u(t)^{\alpha}$

$$0 = \log v(T) - \log v(0) = -cT + d \int_0^T u(t) dt.$$

$$\therefore \frac{1}{T} \int_0^T u(t) dt = \frac{c}{d} = u^* \quad \dots (2) \quad \varepsilon \text{ である.}$$

昔、戦争があった期間、漁業を休止して以後、

再南化すると、小魚が以前より減り、サメが増えている
データーがあり、なぜか？ ということが

話題となり、(漁業を休止したのだから、

小魚は増えるのでは？ という疑問である。)

この疑問に、ボルトンが上記の数理モデル
を用い、説明をつけると言われている。

どうして説明がえると、漁業活動を行う
モデルでは、(先ずは漁業活動を行わない
モデルと区別)

$$\frac{d\hat{u}}{dt} = \hat{u} (a - \underbrace{h}_0 - b\hat{v}(t))$$

$$\left\{ \frac{d\hat{v}}{dt} = \hat{v} (-c - \underbrace{h'}_0 + d\hat{u}(t)) \right.$$

と存在を考慮する。このとき、 $a' = a - h$,

$b = c + h'$ である。前のモデルと同じである。

漁業活動がゼロで南化に
直接効果を
考慮した
モデル。

前の考察から

$$\frac{1}{T} \int_0^T \tilde{u}(t) dt = \frac{c'}{d} = \frac{c+k'}{d} \left(> \frac{c}{d} \right)$$

$$\left\{ \frac{1}{T} \int_0^T \tilde{v}(t) dt = \frac{a'}{b} = \frac{a-k}{b} \left(< \frac{a}{b} \right) \right.$$

となることがわかる。

このことは、小魚の個体数は、漁業を行えば、
その平均が減少する（減少）ことを示している！

★ 数理モデルを立てて、現象を説明する
方法論から学ぶ例として、追加して
いる。

⑩ 改良版のボルツァモデル

前のモデルでは、 $v(t) \equiv 0$ だった

$$\frac{du}{dt} = au \quad \text{となり} \quad u(t) = u_0 e^{at} \rightarrow t \rightarrow \infty$$

とあるが、少し不自然さがある。

捕食者設定は、餌資源を増加させる。

$\zeta = 2$ 改良版 $\zeta = 2$ 次がある. 抑制効果 (友の存在)
(飽和効果 $\zeta = 1$)

$$\begin{cases} u'(t) = u(t) (a - eu(t) - bv(t)) \\ v'(t) = v(t) (-c + du(t)) \end{cases}$$

($e > 0$ は定数.)

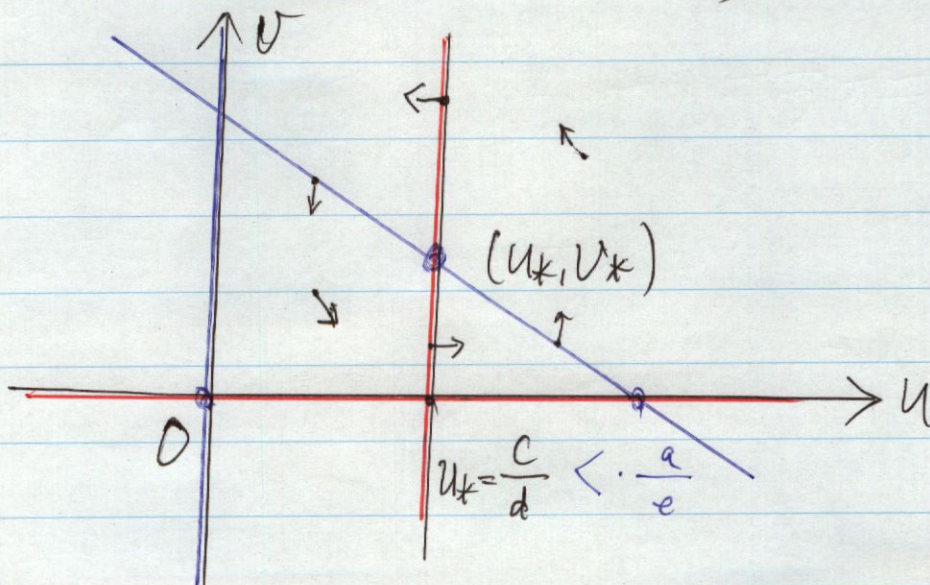
$\zeta = 2$ のとき $v = 0$ のとき $u' = u(a - eu)$

したがって $u(t) \rightarrow \frac{a}{e} \quad (t \rightarrow +\infty)$ となる.

したがって $a - \frac{ce}{d} = \frac{ad - ce}{d} > 0$ とする

固定点 (u_*, v_*) は u, v 共に正の固定点.

$$(u_*, v_*) = \left(\frac{c}{d}, \frac{ad - ce}{bd} \right) \text{ となる.}$$



例: (u, v) の行列化 (行列化) を示す。

$$A = \begin{pmatrix} a - 2eu - bv & -b \\ dv & -c \end{pmatrix} \quad \Bigg| \quad (u, v) = (u, v)$$

$$= \begin{pmatrix} -\frac{ec}{d} & -\frac{cb}{d} \\ \frac{ad-ce}{b} & -c \end{pmatrix} \text{ である。}$$

$$\therefore \text{tr} A = -\frac{ec}{d} - c < 0$$

$$\det A = \frac{ec^2}{d} + \frac{cb}{d} \left(\frac{ad-ce}{b} \right)$$

$$= \frac{ec^2}{d} + \frac{c}{d} (ad-ce) = ac > 0.$$

$\therefore A$ の固有値は 2 つとも実部が負である

である。よって (u, v) は漸近安定

である。

$$V(u, v) = d(u - u_k \log u) + b(v - v_k \log v) - d(u_k - u_k \log u_k) - b(v_k - v_k \log v_k)$$

$$\text{解 } Z = \{ (u, v) \mid \dot{V}(u, v) = 0 \} = \{ u = u_* \}$$

したがって、 $u = u_*$ の解軌道を探せばよいことになる。

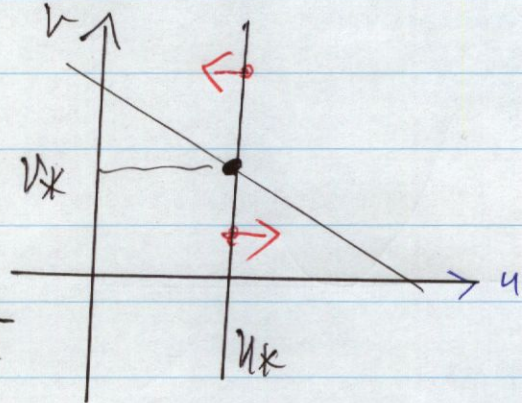
(u_*, v_*) が Z 内の最大の不変集合となる。

ことがわかる。

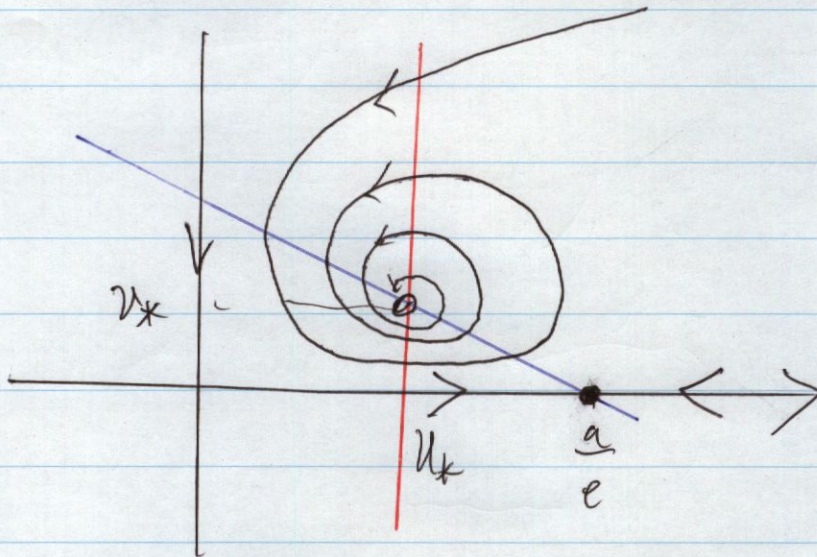
よって、ラサールの原理より

(u_*, v_*) は大域的漸近

安定であることがわかる。



故に解軌道は以下のようになる。



大域的等効 ε (S.T.) 2 a $w > 0 \in \mathbb{R}$ とし

$$V(u, v) = (u^* \log u - u) + w (v^* \log v - v)$$

とある。

$$\frac{d}{dt} (V(u(t), v(t))) = \left(\frac{u^*}{u} - 1 \right) \times u (a - bu - cv) \\ + w \left(\frac{v^*}{v} - 1 \right) \times v (d - eu - fv)$$

$$= (u^* - u) (a - b(u - u^*) - c(v - v^*) - \underbrace{bu^* - cv^*}_0) \\ + w(v^* - v) (d - e(u - u^*) - f(v - v^*) - \underbrace{eu^* - fv^*}_0)$$

$$= b(u^* - u)^2 + (c + we)(u^* - u)(v^* - v) \quad (*) \\ + wf(v^* - v)^2 \quad \text{とある。}$$

よって $c + we > 0$ と仮定する $w \in \mathbb{R}$ とし
 $w = \frac{2bf - ce}{e^2} > 0$ (i.e. $we + c = \frac{2bf}{e}$)

すると

$$(*) \text{ a 右辺} = b(u^* - u)^2 + \frac{2bf}{e}(u^* - u)(v^* - v) \\ + \frac{(2bf - ce)}{e^2} f(v^* - v)^2.$$

とある。

$$= b \left\{ (u^* - u)^2 + \frac{2f}{c} (u^* - u)(v^* - v) + \frac{f^2}{c^2} (v^* - v)^2 \right\} + \frac{(bf - ce)}{c^2} f (v^* - v)^2$$

$$= b \left\{ (u^* - u) + \frac{f}{c} (v^* - v) \right\}^2 + \frac{(bf - ce) f}{c^2} (v^* - v)^2$$

≥ 0 . 又) 等号成立は $v = v^*$ かつ $u = u^*$ のときのみである。

$$\therefore \tilde{V}(u, v) = \left(V(u, v) - (u^* f + v^* c) \right)$$

と定義せよ。

$$\tilde{V}(u, v) \geq 0, \quad \tilde{V}(u^*, v^*) = 0.$$

$$\dot{\tilde{V}} = \frac{d}{dt} (\tilde{V}(u(t), v(t))) \leq 0$$

$$\text{すなわち } \dot{\tilde{V}} < 0 \quad (u, v) \neq (u^*, v^*)$$

よって $\tilde{V}(u, v)$ は $(u, v) \neq (u^*, v^*)$ のとき > 0 である。

以上より (u^*, v^*) は大域的全局安定な平衡点である。

① $bf - ce < 0$ の場合.

(i.e. $bf < ce$... 弱強競争)

このとき (u^*, v^*) は鞍点とすることがわかる

また $(\frac{a}{b}, 0)$, $(0, \frac{d}{f})$ は漸近点とわかる

こともわかる: 解軌道は、おおよそ以下の
とおりとなる (各自、確かめよ.)

